

## Forecasting Rainfall in Different Climatic Regions of Iran Using the LARS WG7 Climate Model

Marzieh Bagheri Khanghahi<sup>1</sup>, Aboutaleb Hazar Jaribi<sup>2</sup>, Mohammad Ismaeil Kamali<sup>3</sup>,  
Fatemeh Zamani<sup>4</sup>

1. Ph.D. Student, Department of Water Engineering, Faculty of Water and Soil, Gorgan University of Agricultural Sciences and Natural Resources, Gorgan, Iran. E-mail: Marzieh.Bagheri\_s99@gau.ac.ir
2. Corresponding author, Department of Water Engineering, Faculty of Water and Soil, Gorgan University of Agricultural Sciences and Natural Resources, Gorgan, Iran. E-mail: Hezarjaribi@gau.ac.ir
3. Department of Soil and Water Research, Agricultural and Natural Resources Research and Education Center of Golestan Province, Gorgan Agricultural Research, Education and Promotion Organization, Gorgan, Iran. E-mail: Kamalipasha@yahoo.com
4. Department of Computer Engineering, Faculty of Electrical and Computer Engineering, Noshirvani University of Technology, Babol, Iran. E-mail: Zamani@nit.ac.ir

(Received 27 Nov 2024, Revised 28 Dec 2024, Accepted 5 Jan 2024, Published online 25 Mar 2025) - Research Article

### Extended Abstract

### Background and Objective

Water resources, agriculture and environment are among the important factors affected by climate change. Therefore, it is more important to examine the process of changes in parameters such as temperature and precipitation to know the future climate in order to plan and make management decisions. The purpose of this study is to evaluate the microscale model (LARS-WG7) in forecasting rainfall in the cities of Gorgan, Mashhad, Shiraz, Ahvaz, Kermanshah and Urmia.

### Methodology

In this research, first, the daily rainfall information for the statistical period from 1991 to 2020 related to the synoptic stations of the studied cities was obtained from the National Meteorological Organization. Then, LARS WG7 climate model was used in order to predict the precipitation of future periods. After sorting the daily rainfall data of the study stations in the Notepad file and selecting the HadGem3 model and the SSP scenarios and future periods considered in LARS WG7, the software was implemented for the study stations. In the first step, the modeled data were compared with the observed data. In the next step, with the help of the base period data, the data of the future periods (2040-2021, 2060-2041 and 2061-2080) were produced under different scenarios (SSP126, SSP245 and SSP585) and finally the changes of precipitation in the future periods compared to the base period was investigated.

### Findings

The results showed that the amount of rainfall under the climate scenarios in all future periods in some months of the year is less than the base period. The trend of changes in the average annual rainfall in future periods is increasing compared to the base period. But only in Urmia city, the future period of 2021-2040 (under the SSP126 scenario) and the future period of 2061-2080 (under the SSP585 scenario) compared to the base period showed a decreasing trend of rainfall. In the city of Mashhad,



Publisher: University of Qom.

© The Authors.

<https://doi.org/10.22091/wrcc.2025.11744.1008>

the future period of 2061-2080 (under the SSP585 scenario) showed a decrease in rainfall compared to the base period. Also, the results indicated that the highest percentage of difference in rainfall amount (42.66%) between the base and future period (under SSP585 scenario) belongs to Ahvaz city. The lowest percentage difference in rainfall amount (4.16%) between the base and future period (under SSP585 scenario) belongs to Urmia city. The trends of rainfall changes (monthly and yearly) in the future periods were variable under different SSP scenarios.

### Conclusion

According to the obtained results, it was found that the climatic conditions in the coming periods will be significantly different from the current conditions and in the coming years, the studied cities will face more rainfall. Changing the precipitation pattern in the future in cities can be caused by atmospheric instability and global warming. With the increase in temperature, the polar ice melts and leads to the rise of the water level of the seas and rivers and finally leads to climate changes and increased rainfall. The increasing trend of precipitation changes in the coming periods can lead to surface runoff and soil erosion in the future. Therefore, managing the crisis of urban floods in the coming years will be an important and necessary measure. Also, managing the optimal use of water in the agricultural sector for rainfed crops, choosing the type of crop and paying attention to the crop calendar according to the amount of precipitation in different months of the year is more important than before.

**Keywords:** Climate Change, SSP Scenarios, Downscaling, HadGem3 Model

---

**Cite this article:** Bagheri Khanghahi Marzieh, Hazar Jaribi Aboutaleb, Kamali Mohammad Ismaeil, Zamani Fatemeh. Forecasting Rainfall in Different Climatic Regions of Iran Using the LARS WG7 Climate Model. *Water Resources and Climate Change*. (2025); 1(1): 28-39. <https://doi.org/10.22091/wrcc.2025.11744.1008>



## پیش‌نمایی بارندگی مناطق مختلف آب و هوایی ایران با استفاده از مدل اقلیمی LARS WG7

مرضیه باقری خانقاہی<sup>۱</sup>، ابوطالب هزارجریبی<sup>۲\*</sup>، محمد اسماعیل کمالی<sup>۳</sup>، فاطمه زمانی<sup>۴</sup>

۱. دانشجوی دکتری، گروه مهندسی آب، دانشکده آب و خاک، دانشگاه علوم کشاورزی و منابع طبیعی گرگان، گرگان، ایران. رایانامه: Marzieh.Bagheri\_s99@gau.ac.ir
۲. نویسنده مسئول، گروه مهندسی آب، دانشکده آب و خاک، دانشگاه علوم کشاورزی و منابع طبیعی گرگان، گرگان، ایران. رایانامه: Hezarjaribi@gau.ac.ir
۳. بخش تحقیقات خاک و آب، مرکز تحقیقات و آموزش کشاورزی و منابع طبیعی استان گلستان، سازمان تحقیقات، آموزش و ترویج کشاورزی گرگان، گرگان، ایران. رایانامه: Kamalipasha@yahoo.com
۴. گروه مهندسی کامپیوتر، دانشکده مهندسی برق و کامپیوتر، دانشگاه صنعتی نوشیروانی بابل، ایران. رایانامه: Zamani@nit.ac.ir

(تاریخ دریافت: ۱۴۰۳/۰۹/۰۷، تاریخ بازنگری: ۱۴۰۳/۱۰/۰۸، تاریخ پذیرش: ۱۴۰۳/۱۰/۱۶، تاریخ انتشار پرخط: ۱۴۰۴/۰۱/۰۵) – مقاله پژوهشی

### چکیده

هدف از این مطالعه، ارزیابی مدل ریزمقیاس‌نمایی (LARS-WG7) در پیش‌نمایی بارندگی در شهرهای گرگان، مشهد، شیراز، اهواز، کرمانشاه و ارومیه می‌باشد. بهمین منظور اطلاعات بارندگی در دوره آماری (۱۹۹۱-۲۰۲۰) بدعنوان دوره پایه در نظر گرفته شد. سپس برای پیش‌بینی تغییرات بارندگی در دوره‌های آتی (۲۰۴۰-۲۰۶۱-۲۰۸۰، ۲۰۴۱-۲۰۶۰، ۲۰۲۱-۲۰۴۰) تحت سه سناریوی HadGEM3، SSP126، SSP245، SSP585، مدل به اجرا درآمد. نتایج نشان می‌دهند که میزان بارندگی تحت سناریوهای اقلیمی در تمامی دوره‌های آتی در بعضی از ماههای سال کمتر از دوره پایه است. روند تغییرات میانگین بارندگی سالانه در دوره‌های آتی نسبت به دوره پایه افزایشی می‌باشد. اما فقط در شهر ارومیه، دوره آتی (۲۰۴۰-۲۰۶۱-۲۰۸۰) تحت سناریوی SSP126 و دوره آتی (۲۰۲۱-۲۰۴۰) تحت سناریوی SSP585 نسبت به دوره پایه، روند کاهشی بارندگی را نشان داد. در شهر مشهد نیز دوره آتی (۲۰۶۱-۲۰۸۰) تحت سناریوی SSP585 نسبت به دوره پایه، روند کاهشی بارندگی را نشان داد. همچنین نتایج حاکی از آن بود که بیشترین درصد اختلاف مقدار بارندگی (۴۲/۶۶ درصد) بین دوره پایه و آتی (تحت سناریوی SSP585) متعلق به شهر اهواز می‌باشد. کمترین درصد اختلاف مقدار بارندگی (۴/۱۶ درصد) بین دوره پایه و آتی (تحت سناریوی SSP585) متعلق به شهر ارومیه می‌باشد. روند تغییرات بارندگی (ماهانه و سالانه) در دوره‌های آتی تحت سناریوهای مختلف SSP متغیر بود.

کلیدواژه‌ها: تغییر اقلیم، سناریوهای SSP، ریزمقیاس‌نمایی، مدل HadGem3

استناد: باقری خانقاہی مرضیه، هزارجریبی ابوطالب، کمالی محمد اسماعیل، زمانی فاطمه. پیش‌نمایی بارندگی مناطق مختلف آب و هوایی ایران با استفاده از مدل اقلیمی LARS WG7. *منابع آب و تغییر اقلیم*. ۱(۱)، ۲۸-۳۹؛ ۱۴۰۴؛ <https://doi.org/10.22091/wrcc.2025.11744.1008>

## ۱- مقدمه

**نتایج پیش‌بینی تغییرات میانگین سالانه بارش**  
 ایستگاه‌های استان آذربایجان شرقی در دوره آماری ۲۰۲۱-۲۰۴۰ نشان دادند که براساس سناریوی RCP2.6، بارش افزایش یافت و براساس سایر سناریوهای بارش در بیش‌تر ایستگاه‌ها کاهش یافت [۷]. تحقیقات نشان دادند که میانگین بارش سالانه الشتر بین ۱۰ تا ۲۰ درصد برای آینده دور و بین ۰/۳ تا ۱۶ درصد برای آینده نزدیک تحت سناریوی SSP کاهش خواهد داشت. همچنین میانگین بارش سالانه خرمآباد بین ۱۲ تا ۲۴ درصد برای آینده دور و بین ۷ تا ۱۲ درصد برای آینده نزدیک تحت سناریوی SSP کاهش خواهد داشت [۸]. محققان اعلام کردند که بارش سالانه در آینده در تهران بین ۲۰ تا ۴۰ درصد و در یزد بین ۴۳ تا ۴۹ درصد افزایش می‌یابد؛ اما تغییرات در ماههای مختلف متفاوت است [۹]. در پژوهشی دیگر، به بررسی تغییرات زمانی-مکانی بارش‌های حدی با استفاده از مدل‌های CMIP6 در خاورمیانه و شمال آفریقا پرداخته شد. نتایج نشان دادند بارش‌های حدی در دوره‌های آینده براساس سناریوهای مختلف در منطقه مورد مطالعه افزایش خواهد یافت [۱۰]. مطالعات پیش‌بینی بارش تاکنون نشان داده که بهطورکلی روند تغییرات بارش در دوره‌های زمانی آینده نسبت به دوره پایه تحت سناریوها و مدل‌های مختلف، متفاوت است. از آنجا که پژوهش‌های صورت‌گرفته در پیش‌نمایی پارامترهای اقلیمی تحت سناریوهای SSP از مدل HadGem3 (از سری مدل‌های فاز ششم) در نرم افزار LARS WG7 در برخی از شهرهای ایران صورت نگرفته است، بنابراین هدف از این پژوهش برآورد تغییرات بارندگی در سه دوره آتی ۲۰ ساله در شش منطقه اقلیمی مختلف (گرگان، مشهد، شیراز، اهواز، کرمانشاه و ارومیه) تحت سه سناریوی SSP245، SSP126 و SSP585 از مدل HadGem3 با استفاده از نسخه هفتم مدل ریزمقیاس‌نمایی LARS WG می‌باشد.

تغییرات آب و هوایی می‌تواند بهطور جدی بر بسیاری از جنبه‌های اساسی اقتصاد جهانی، از جمله منابع آب، کشاورزی، محیط‌زیست، تولید انرژی و گردشگری اثر بگذارد [۱]. در همین راستا مؤسسه بین‌دولتی تغییرات اقلیمی<sup>۱</sup> (IPCC) در جدیدترین گزارش خود (گزارش ارزیابی ششم)<sup>۲</sup> (AR6) به افزایش خطرپذیری طبیعی هم چون خشکسالی و سیلاب که ممکن است در نتیجه تغییرات اقلیمی ایجاد شود، اشاره کرده و هشدار داده است. همچنین گزارش می‌دهد تغییرات اقلیمی اثرات محسوس‌تری بر مناطق خشک و نیمه‌خشک جهان دارد [۲]. از آنجایی که ایران دارای آب و هوای خشک است، می‌تواند تأثیرات قابل توجهی بر میزان و الگوی بارش، دما، جریان آب و سایر متغیرهای اقلیمی داشته باشد [۳]. بنابراین، بررسی روند تغییرات پارامترهایی همچون دما و بارش برای آگاهی از وضعیت اقلیم آینده برای اتخاذ تصمیمات مدیریتی بیش از پیش حائز اهمیت می‌باشد. روش‌های مختلفی برای شبیه‌سازی و پیش‌بینی متغیرهای اقلیمی در دوره‌های آتی تحت تأثیر تغییر اقلیم وجود دارد که معتبرترین آنها استفاده از داده‌های مدل گردش عمومی جو<sup>۳</sup> (GCM) می‌باشد [۴]. مدل‌های جفت شده فاز ششم (CMIP6)، نسخه‌های بهروزشده و پیشرفت‌های تر مدل‌های گردش عمومی (GCM) در راستای گزارش ششم ارزیابی تغییر اقلیم (AR6) می‌باشند. دوره تاریخی این مدل‌ها، ۱۸۵۰ تا ۲۰۱۴ میلادی است. این مدل‌ها به همراه مجموعه جدیدی از سناریوهای تغییرات غلظت گازهای گلخانه‌ای، در راستای مسیرهای مشترک اجتماعی-اقتصادی<sup>۴</sup> (SSP) در بین سال‌های ۲۰۱۸ تا ۲۰۲۱ میلادی منتشر گردیده‌اند [۵ و ۶].

<sup>۱</sup>- Intergovernmental Panel on Climate Change<sup>۲</sup>- Sixth Assessment Report<sup>۳</sup>- General Circulation Model<sup>۴</sup>- Shared Socioeconomic Pathways

اقلیمی را پیش‌بینی کند، ولی برای این که مدل بتواند اقلیم درست‌تر و دقیق‌تری را پیش‌بینی کند، بهتر است که از داده‌های روزانه ۲۰ تا ۳۰ سال استفاده نمود [۱۲].

پس از مرتب‌سازی داده‌های روزانه بارش ایستگاه‌های مطالعاتی در فایل Notepad و انتخاب مدل HadGem3 و سناریوهای SSP و دوره‌های آتی مدنظر در LARS WG7، نرمافزار برای ایستگاه‌های مطالعاتی اجرا می‌شود. اولین مرحله برای تولید داده‌های جوی روزانه، واسنجی مدل است. به‌همین منظور در این مرحله داده‌های مشاهده‌ای و مدل‌سازی شده، مقایسه می‌شوند و دقت مدل با شاخص‌های آماری ضریب تبیین ( $R^2$ )، شاخص سازگاری ( $d$ ) و مقدار نرمال‌شده میانگین مربعات خطای  $NRMSE$  (ارزیابی می‌شود [۱۳ و ۱۴]. در روابط (۱) تا (۳) شاخص‌های نامبرده،  $O_i$  و  $P_i$  به‌ترتیب مقادیر مشاهداتی و مدل‌سازی،  $(\bar{O})$  و  $(\bar{P})$  به‌ترتیب میانگین مقادیر مشاهداتی و مدل‌سازی و  $n$  تعداد مشاهدات است.

$$R^2 = \frac{[\sum_{i=1}^n (P_i - \bar{P})(O_i - \bar{O})]^2}{\sum_{i=1}^n (P_i - \bar{P})^2 \sum_{i=1}^n (O_i - \bar{O})^2} \quad (1)$$

$$d = 1 - \frac{\sum_{i=1}^n (P_i - O_i)^2}{\sum_{i=1}^n ((O_i - \bar{O}) + (P_i - \bar{O}))^2} \quad (2)$$

$$NRMSE = \sqrt{\frac{\sum_{i=1}^n (P_i - O_i)^2}{n}} \times \frac{100}{\bar{O}} \quad (3)$$

در مرحله بعد، به کمک داده‌های دوره پایه، داده‌های دوره‌های آتی (۲۰۲۱-۲۰۴۰، ۲۰۴۱-۲۰۶۰ و ۲۰۶۱-۲۰۸۰) تحت سناریوهای مختلف (SSP126، SSP245 و SSP585) تولید می‌شوند و در نهایت تغییرات بارش در دوره‌های آتی نسبت به دوره پایه مورد بررسی قرار می‌گیرد.

<sup>۵</sup>- Normalized Root Mean Square Error

## ۲- مواد و روش‌ها

### ۱-۲- محدوده مورد مطالعه

در این پژوهش، مناطق مطالعاتی براساس تنوع اقلیمی خشک (مشهد و اهواز)، نیمه‌خشک (شیراز، کرمانشاه و ارومیه) و مدیترانه‌ای (گرگان) انتخاب شدند. مشخصات طول و عرض جغرافیایی و ارتفاع از سطح دریای هریک از شهرها در جدول ۱ آمده است.

جدول ۱- مشخصات ایستگاه‌های سینوپتیک مورد مطالعه

(منبع: سازمان هواشناسی کشور)

Table 1. Characteristics of the studied synoptic stations  
(Source: National Meteorological Organization)

Station	Longitude	Latitude	Height above sea level (meters)
Gorgan	54.43	36.84	133
Mashhad	59.54	36.32	1027
Shiraz	52.53	29.59	1519
Ahvaz	48.71	31.34	20
Kermanshah	47.07	34.32	1351
Urmia	45.07	37.55	1348

### ۲-۲- فرآیند ارزیابی دقت مدل و پیش‌نمایی بارش

در این پژوهش ابتدا اطلاعات بارش روزانه برای دوره آماری ۱۹۹۱ تا ۲۰۲۰ مربوط به ایستگاه‌های سینوپتیک شهرهای مورد مطالعه از سازمان هواشناسی کشور اخذ شد. سپس به‌منظور پیش‌نمایی بارش دوره‌های آتی، از مدل اقلیمی LARS WG7 استفاده شد. هسته اصلی مدل LARS WG استفاده از زنجیره مارکوف می‌باشد که به‌طور مکرر از آن استفاده شده است. مبنای این مدل برای مدل‌سازی دوره‌های خشک و تر، بارندگی روزانه، سری‌های تابش و توزیع نیمه‌تجربی می‌باشد که دارای ۲۳ بازه است. برای یک روز مرتبط، مقدار بارش از روی یک توزیع نیمه‌تجربی برای هر ماه تعیین می‌شود و این انتخاب، مستقل از طول سری روزهای مرتبط و یا مقدار بارش در روزهای گذشته است [۱۱]. این مدل قادر است با داده‌های مشاهداتی در حدود یک سال، داده‌های

### ۳- بحث و بررسی نتایج

#### ۱-۳- نتایج ارزیابی دقت مدل در مناطق مطالعاتی

ارزیابی دقت مدل LARS WG7 در پیش‌نمایی بارندگی در شهرهای گرگان، مشهد، شیراز، اهواز، کرمانشاه و ارومیه طبق شاخص‌های آماری در جدول ۲ مشخص شده است. مقدار  $NRMSE$  کمتر از ۳۰ درصد حاکی از خطای کم در شبیه‌سازی می‌باشد و بین داده‌های مشاهداتی و مدل‌سازی‌شده اختلاف معنی‌داری مشاهده نمی‌شود. همچنین نتایج نشان‌دهنده دقت بالا در مدل‌سازی در مناطق مطالعاتی است که مقادیر بالای  $R^2$  و  $d$  (نزدیک به ۱)، دقت و توافق بالای مدل در شبیه‌سازی را تایید می‌کند.

جدول ۲- نتایج شاخص‌های آماری حاصل از مقایسه بین مقادیر بارندگی ماهانه مشاهداتی و مدل‌سازی مناطق مطالعاتی

Table 2. Results of statistical indicators from the comparison between observed and modeled monthly rainfall values of the study areas

Station	$R^2$	$d$	$NRMSE$ (%)
Gorgan	0.93	0.96	13.67
Mashhad	0.99	0.99	9.58
Shiraz	0.97	0.98	22.54
Ahvaz	0.99	0.99	10.84
Kermanshah	0.96	0.99	14.47
Urmia	0.92	0.98	17.52

در شکل ۱ نمودارهای مربوط به اطلاعات مقدار مجموع بارندگی ماهانه مشاهداتی و مدل‌سازی در مناطق مطالعاتی نمایش داده شده است. نمودارها نشان می‌دهند که بین مقدار مجموع بارندگی ماهانه مشاهداتی و مدل‌سازی‌شده اختلاف زیادی وجود ندارد. پژوهش حاضر نیز مانند پژوهش‌های گذشته، قابلیت بالای مدل LARS WG7 را در شبیه‌سازی به اثبات رساند.

#### ۲-۳- نتایج پیش‌نمایی بارش ماهانه در مناطق مطالعاتی

تغییرات مقدار مجموع بارندگی ماهانه دوره پایه (۱۹۹۱-۲۰۲۰) و سه دوره آینده تحت سناریوهای (الف) SSP126، (ب) SSP245 و (پ) SSP585 برای شهر گرگان در شکل ۲ نشان داده شده است. توسط نمودارها مشخص شد که در مقایسه بین دوره پایه و دوره‌های آتی (تحت سناریوهای SSP245 و SSP585)، بیشترین مقدار مجموع بارندگی در ماههای سپتامبر و اکتبر متعلق به دوره پایه و در سایر ماه‌ها متعلق به دوره‌های آتی می‌باشد. به طورکلی در تمامی دوره‌ها بیشترین مقدار بارندگی ماهانه در سناریوهای SSP126، SSP245 و SSP585 به ترتیب مربوط به ماه نوامبر از دوره ۲۰۶۱-۲۰۸۰ (۸۹/۲۳۵ میلی‌متر)، ماه نوامبر از دوره ۲۰۲۱-۲۰۴۰ (۱۰۸/۴۶ میلی‌متر) و ماه فوریه از دوره ۲۰۶۱-۲۰۸۰ (۱۰۳/۵۱۵ میلی‌متر) می‌باشد. طی مطالعه‌ای در گرگان تحت سناریوهای SSP از استفاده از مدل‌های گزارش ششم در نرمافزار CMHyd نشان داد که میانگین بارش ماهانه در حوضه قره‌سو گرگان در دوره‌های آتی نسبت به دوره پایه در بعضی ماه‌ها دارای روند معنی‌داری است [۱۵].

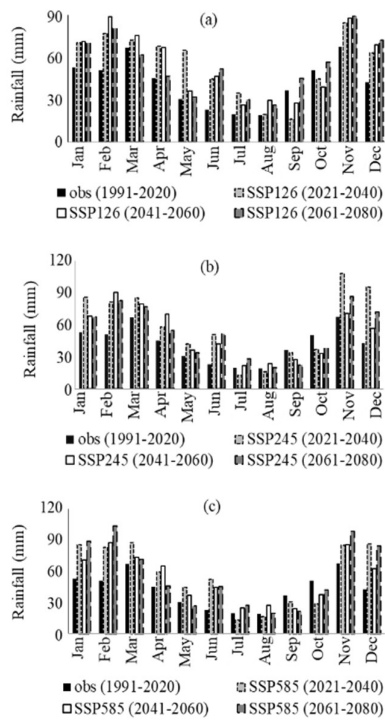


Figure 2. Changes in monthly rainfall in baseline period (obs) and three future 20-year periods under scenarios (a) SSP126, (b) SSP245 and (c) SSP585 in Gorgan

شکل ۲- تغییرات مقدار بارندگی ماهانه دوره پایه (obs) و سه دوره آتی ۲۰ ساله تحت سناریوهای (الف) SSP126، (ب) SSP245 و (پ) SSP585 در شهر گرگان

**تغییرات مقدار مجموع بارندگی ماهانه دوره پایه**  
 (الف) و سه دوره آینده تحت سناریوهای (الف)  
 (ب) SSP126، (پ) SSP245 و (پ) SSP585 برای شهر مشهد  
 در شکل ۳ نشان داده شده است. توسط نمودارها مشخص شد که در مقایسه بین دوره پایه و دوره‌های آتی (تحت سناریوی SSP126)، بیشترین مقدار مجموع بارندگی در ماه‌های فوریه، آوریل و سپتامبر متعلق به دوره پایه و در سایر ماه‌ها متعلق به دوره‌های آتی است. در مقایسه بین دوره پایه و دوره‌های آتی (تحت سناریوی SSP245)، بیشترین مقدار مجموع بارندگی در ماه‌های فوریه، می، آگوست و اکتبر متعلق به دوره آتی می‌باشد. در مقایسه بین دوره پایه و دوره‌های آتی (تحت سناریوی SSP585)، بیشترین مقدار مجموع بارندگی در ماه مارس متعلق به دوره آتی است. در مقایسه بین دوره آتی (تحت سناریوی SSP126) و دوره آتی (تحت سناریوی SSP245) می‌توان به این نتیجه رسید که دوره آتی (تحت سناریوی SSP245) نسبت به دوره آتی (تحت سناریوی SSP126) میزان بارندگی ماه مارس را بیشتر دارد.

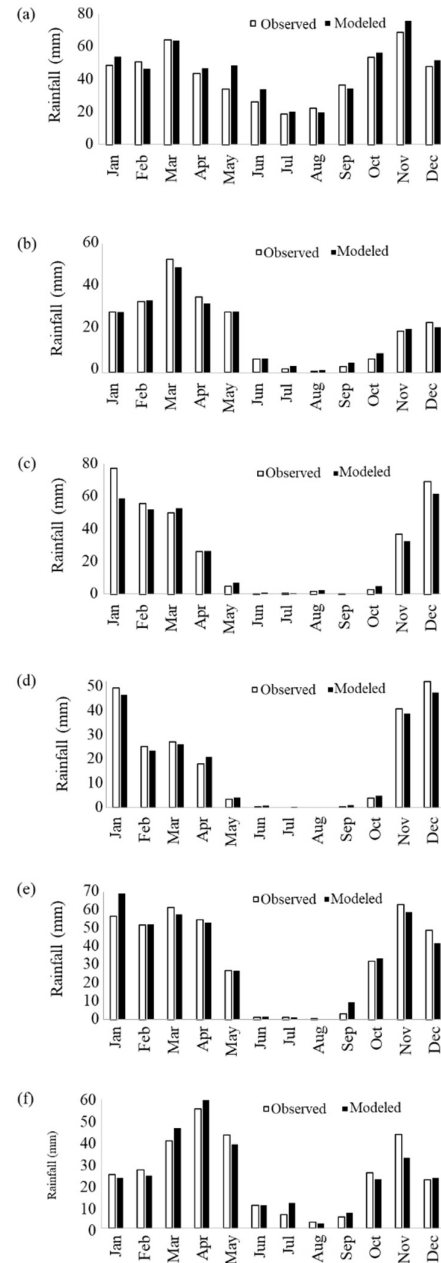


Figure 1. Observed and modeled monthly rainfall in six cities: (a) Gorgan, (b) Mashhad, (c) Shiraz, (d) Ahvaz, (e) Kermanshah, (f) Urmia

شکل ۱- مقدار بارندگی ماهانه مشاهداتی و مدل‌سازی شده در شش شهر (الف) گرگان، (ب) مشهد، (پ) شیراز، (ت) اهواز، (ث) کرمانشاه، (ج) ارومیه

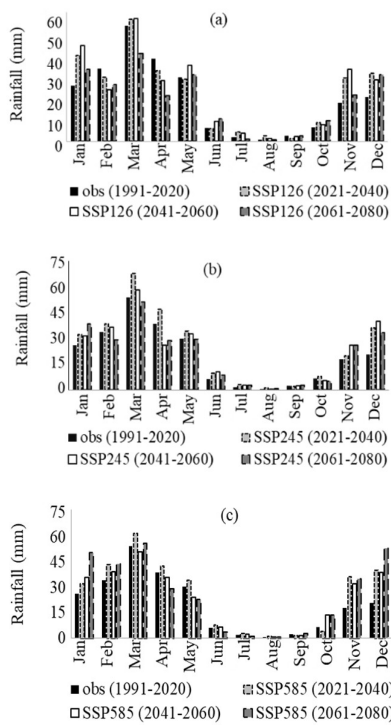


Figure 3. Changes in monthly rainfall in baseline period (obs) and three future 20-year periods under scenarios (a) SSP126, (b) SSP245 and (c) SSP585 in Mashhad

شكل ۳- تغییرات مقدار بارندگی ماهانه دوره پایه (obs) و سه دوره آتی ۲۰ ساله تحت سناریوهای (الف) SSP126، (ب) SSP245 و (پ) SSP585 در شهر مشهد

به‌طورکلی در تمامی دوره‌ها بیشترین مقدار بارندگی ماهانه در سناریوهای SSP126، SSP245 و SSP585 به‌ترتیب مربوط به ماه دسامبر از دوره ۲۰۲۱-۲۰۴۰ (۱۲۱/۲۳ میلی‌متر)، ماه زانویه از دوره ۲۰۴۱-۲۰۶۰ (۱۰۴/۹۴ میلی‌متر) و ماه زانویه از دوره ۲۰۲۱-۲۰۴۰ (۱۵۴/۴ میلی‌متر) می‌باشد. محققان طی مطالعه پیش‌بینی بارش تحت سناریوهای A2 و A1B از مدل HADCM3، روند افزایشی بارش در دوره‌های آتی نسبت به دوره پایه را در شهر شیراز اعلام کردند [۱۷].

(تحت سناریوی SSP585)، بیشترین مقدار مجموع بارندگی در ماههای مارس، آوریل می، ژوئن، ژولای، آگوست و نوامبر متعلق به دوره (۲۰۲۱-۲۰۴۰) و در سایر ماهها متعلق به سایر دوره‌های آتی است. به‌طورکلی در تمامی دوره‌ها بیشترین مقدار بارندگی ماهانه در ماه مارس بوده است که در سناریوهای SSP126 و SSP245، SSP585 به‌ترتیب مربوط به دوره‌های ۲۰۴۱-۲۰۶۰ (۵۷/۵۷ میلی‌متر)، ۲۰۲۱-۲۰۴۰ (۶۱/۱۵۵ میلی‌متر) می‌باشد. در پژوهشی AOGCM در مشهد با استفاده از ترکیب وزنی چهار مدل SSP585 اعلام شد که روند تغییرات بارش تحت سناریوی SSP585 در دو دوره ۲۰۲۱-۲۰۴۰ و ۲۰۶۱-۲۰۸۰ افزایشی و در دو دوره ۲۰۴۱-۲۰۶۰ و ۲۰۸۱-۲۱۰۰ کاهشی است. هم چنین روند تغییرات بارش تحت سناریوهای SSP126 و SSP370 در دوره اول معنی‌دار نبود، اما در دوره‌های بعدی تحت سناریوهای نامبرده به‌ترتیب روند افزایشی و کاهشی داشت [۱۶].

شكل ۴ تغییرات مقدار مجموع بارندگی ماهانه دوره پایه (۱۹۹۱-۲۰۲۰) و سه دوره آینده تحت سناریوهای (الف) SSP126، (ب) SSP245 و (پ) SSP585 را برای شهر شیراز نشان می‌دهد. توسط نمودارها مشخص شد که در مقایسه بین دوره پایه و دوره‌های آتی (تحت سناریوی SSP126)، بیشترین مقدار مجموع بارندگی در ماههای فوریه، ژولای، آگوست، سپتامبر، اکتبر و دسامبر متعلق به دوره ۲۰۲۱-۲۰۴۰ (۲۰۲۱-۲۰۴۰) و در سایر ماهها متعلق به دوره ۲۰۶۱-۲۰۸۰ (۲۰۶۱-۲۰۸۰) می‌باشد. فقط در ماه زانویه، بیشترین مقدار مجموع بارندگی متعلق به دوره (۲۰۴۱-۲۰۶۰) است.

و در سایر ماهها متعلق به دوره (۲۰۶۱-۲۰۸۰) می‌باشد. در مقایسه بین دوره پایه و دوره‌های آتی (تحت سناریوی SSP585)، بیشترین مقدار مجموع بارندگی در ماههای ژانویه و فوریه متعلق به دوره (۲۰۶۱-۲۰۸۰) و در سایر ماهها متعلق به دوره (۲۰۴۱-۲۰۶۰) می‌باشد. به طور کلی در تمامی دوره‌ها بیشترین مقدار بارندگی ماهانه در ماه دسامبر بوده است که در سناریوهای SSP126، SSP245 و SSP585 به ترتیب مربوط به دوره‌های ۲۰۶۱-۲۰۸۰، ۲۰۶۱-۲۰۸۰ (۱۰۱/۵۳ میلی‌متر)، ۲۰۶۱-۲۰۸۰ (۶۳/۰۵ میلی‌متر)، ۲۰۶۱-۲۰۸۰ (۹۸/۳۹ میلی‌متر) می‌باشد. در پژوهشی با استفاده از مدل SDSM و HadCM3 به پیش‌بینی بارش در اهواز پرداخته شد که نتایج بیان‌گر افزایش بارش ماهانه تحت دو سناریوی A<sub>2</sub> و B<sub>2</sub> در آینده بود [۱۸].

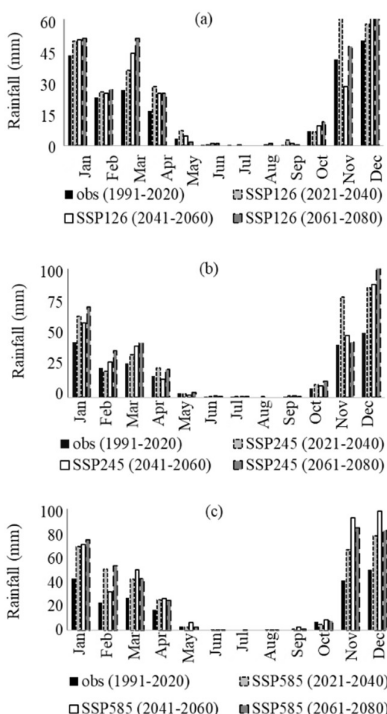


Figure 5. Changes in monthly rainfall in baseline period (obs) and three future 20-year periods under scenarios (a) SSP126, (b) SSP245 and (c) SSP585 in Ahvaz

شکل ۵- تغییرات مقدار بارندگی ماهانه دوره پایه (obs) و سه دوره آتی ۲۰ ساله تحت سناریوهای (الف) SSP126، (ب) SSP245 و (پ) SSP585 در شهر اهواز

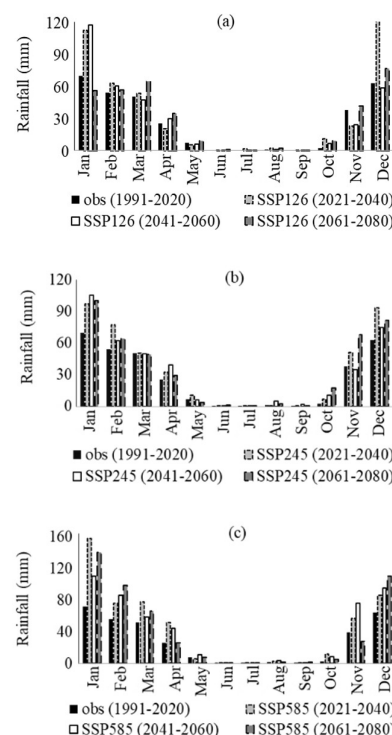


Figure 4. Changes in monthly rainfall in baseline period (obs) and three future 20-year periods under scenarios (a) SSP126, (b) SSP245 and (c) SSP585 in Shiraz

شکل ۴- تغییرات مقدار بارندگی ماهانه دوره پایه (obs) و سه دوره آتی ۲۰ ساله تحت سناریوهای (الف) SSP126، (ب) SSP245 و (پ) SSP585 در شهر شیراز

شکل ۵ تغییرات مقدار مجموع بارندگی ماهانه دوره پایه (۱۹۹۱-۲۰۲۰) و سه دوره آینده تحت سناریوهای (الف) SSP126، (ب) SSP245 و (پ) SSP585 را برای شهر اهواز نشان می‌دهد. در مقایسه بین دوره پایه و دوره‌های آتی (تحت سناریوهای SSP126، SSP245 و SSP585)، بیشترین مقدار مجموع بارندگی در ماههای اوریل، می، سپتامبر و نوامبر متعلق به دوره (۲۰۲۱-۲۰۴۰) و در ماههای ژوئن و ژولای متعلق به دوره (۲۰۴۱-۲۰۶۰) و در سایر ماهها متعلق به دوره (۲۰۶۱-۲۰۸۰) می‌باشد. در مقایسه بین دوره پایه و دوره‌های آتی (تحت سناریوی SSP245)، بیشترین مقدار مجموع بارندگی در ماههای اوریل، جولای، آگوست و نوامبر متعلق به دوره (۲۰۲۱-۲۰۴۰) و در ماههای ژوئن و سپتامبر متعلق به دوره (۲۰۴۱-۲۰۶۰)

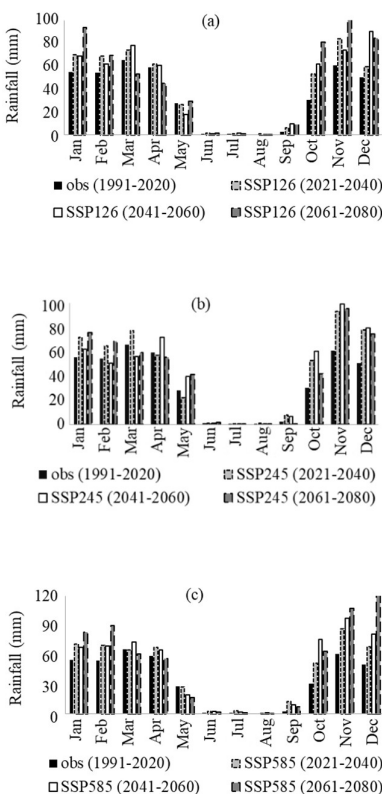


Figure 6. Changes in monthly rainfall in baseline period (obs) and three future 20-year periods under scenarios (a) SSP126, (b) SSP245 and (c) SSP585 in Kermanshah

شکل ۶- تغییرات مقدار بارندگی ماهانه دوره پایه (obs) و سه دوره آتی ۲۰ ساله تحت سناریوهای (الف) SSP126، (ب) SSP245 و (پ) SSP585 در شهر کرمانشاه

در مقایسه بین دوره پایه و دوره‌های آتی (تحت سناریوهای SSP126)، بیشترین مقدار مجموع بارندگی در ماه فوریه متعلق به دوره پایه و در ماههای زانویه و می متعلق به دوره (۲۰۲۱-۲۰۴۰) و در سایر ماهها متعلق به دوره (۲۰۴۱-۲۰۶۰ و ۲۰۶۱-۲۰۸۰) می‌باشد. در مقایسه بین دوره پایه و دوره‌های آتی (تحت سناریوی SSP245)، بیشترین مقدار مجموع بارندگی در ماه فوریه متعلق به دوره پایه، دوره آتی (تحت سناریوی SSP585) و دوره آتی (تحت سناریوی SSP126) می‌باشد. در مقایسه بین دوره پایه و دوره آتی می‌باشد. در مقایسه بین دوره پایه و دوره آتی (تحت سناریوی SSP585)، بیشترین مقدار مجموع بارندگی در ماه زانویه متعلق به دوره پایه و در سایر ماهها متعلق به دوره‌های آتی می‌باشد. در مقایسه بین دوره پایه و دوره آتی می‌باشد. به طور کلی در تمامی دوره‌ها بیشترین مقدار بارندگی ماهانه در سناریوهای SSP585 و SSP245 و SSP126 به ترتیب مربوط به ماه نوامبر از دوره ۲۰۶۱-۲۰۸۰ (۱۱۹/۶۵ میلی‌متر)، ماه نوامبر از دوره ۲۰۴۱-۲۰۶۰ (۹۹/۲۵۵ میلی‌متر) و ماه دسامبر از دوره ۲۰۶۱-۲۰۸۰ (۱۲۶/۸۸ میلی‌متر) می‌باشد. طی تحقیقی در کرمانشاه نشان داده شد که تحت سناریوهای RCP در نرمافزار LARS WG، بارش در دوره‌های آتی نسبت به دوره پایه کاهش خواهد یافت.

شکل ۶ تغییرات مقدار مجموع بارندگی ماهانه دوره پایه (۱۹۹۱-۲۰۲۰) و سه دوره آینده تحت سناریوهای (الف) SSP126، (ب) SSP245 و (پ) SSP585 را برای شهر کرمانشاه نشان می‌دهد. در مقایسه بین دوره پایه و دوره آتی (تحت سناریوی SSP126)، بیشترین مقدار مجموع بارندگی در ماههای آوریل، زوئن و آگوست متعلق به دوره (۲۰۲۱-۲۰۴۰) و در ماههای مارس، زولای، سپتامبر و دسامبر متعلق به دوره (۲۰۴۱-۲۰۶۰) و در سایر ماهها متعلق به دوره (۲۰۶۱-۲۰۸۰) می‌باشد. در مقایسه بین دوره پایه و دوره‌های آتی (تحت سناریوی SSP245)، بیشترین مقدار مجموع بارندگی در ماه زولای متعلق به دوره پایه و در سایر ماهها متعلق به دوره‌های آتی می‌باشد. در مقایسه بین دوره پایه و دوره‌های آتی (تحت سناریوی SSP585)، بیشترین مقدار مجموع بارندگی در ماه مارس متعلق به دوره پایه و در سایر ماهها متعلق به دوره‌های آتی می‌باشد. به طور کلی در تمامی دوره‌ها بیشترین مقدار بارندگی ماهانه در سناریوهای SSP585 و SSP245 و SSP126 به ترتیب مربوط به ماه نوامبر از دوره ۲۰۶۱-۲۰۸۰ (۱۱۹/۶۵ میلی‌متر)، ماه نوامبر از دوره ۲۰۴۱-۲۰۶۰ (۹۹/۲۵۵ میلی‌متر) و ماه دسامبر از دوره ۲۰۶۱-۲۰۸۰ (۱۲۶/۸۸ میلی‌متر) می‌باشد. طی تحقیقی در کرمانشاه نشان داده شد که تحت سناریوهای RCP در نرمافزار LARS WG، بارش در دوره‌های آتی نسبت به دوره پایه کاهش خواهد یافت. [۱۹]

تغییرات مقدار مجموع بارندگی ماهانه دوره پایه (۱۹۹۱-۲۰۲۰) و سه دوره آینده تحت سناریوهای (الف) SSP126، (ب) SSP245 و (پ) SSP585 برای شهر ارومیه در شکل ۷ نشان داده شده است.

### ۳-۳- نتایج پیش‌نمایی بارش سالانه در مناطق مطالعاتی

میانگین مقادیر بارندگی سالانه در دوره پایه (۱۹۹۱-۲۰۲۰) و دوره‌های آتی اول (۲۰۴۰-۲۰۶۰)، آتی دوم (۲۰۶۰-۲۰۸۰) و آتی سوم (۲۰۸۰-۲۰۱۰) برای مناطق مطالعاتی در جداول ۳ و ۴ آورده شده است. به طور کلی روند تغییرات بارش سالانه میانگین دوره‌های آتی (اول، دوم و سوم) تحت سناریوهای مختلف نسبت به دوره پایه اختلاف معنی‌داری دارد. همان‌طور که در جداول ۳ و ۴ مشاهده می‌شود، میانگین بارش در شهرهای گرگان، شیراز، اهواز و کرمانشاه، در تمامی دوره‌های آتی تحت سناریوهای SSP نسبت به دوره پایه افزایش داشته است. در شهر گرگان، میانگین بارش دوره‌های آتی تحت سناریوهای SSP126، SSP245 و SSP585 نسبت به میانگین بارش دوره پایه به ترتیب ۲۲/۸، ۲۳/۵۸ و ۲۳/۷۵ درصد افزایش می‌یابد. در شهر شیراز، میانگین بارش دوره‌های آتی تحت سناریوهای SSP126، SSP245 و SSP585 نسبت به میانگین بارش دوره پایه به ترتیب ۳۶/۱۵، ۳۶/۷۴ و ۱۶/۲۴ درصد افزایش می‌یابد. در شهر اهواز، میانگین بارش دوره‌های آتی تحت سناریوهای SSP126 و SSP245 نسبت به میانگین بارش دوره پایه به ترتیب ۲۱/۸۶ و ۳۲/۸۵ درصد افزایش می‌یابد. در شهر کرمانشاه، میانگین بارش دوره‌های آتی تحت سناریوهای SSP126 و SSP245 نسبت به میانگین بارش دوره پایه به ترتیب ۲۱/۷، ۲۴/۵۹ و ۲۸/۲۳ درصد افزایش می‌یابد. در شهر مشهد در دوره آتی سوم تحت سناریوی SSP126 (۲۲۹/۶۴ میلی‌متر)، میانگین بارندگی سالانه کمتر از دوره پایه (۲۳۷/۲۱ میلی‌متر) می‌باشد، اما به طور کلی میانگین بارش دوره‌های آتی تحت سناریوهای SSP126 و SSP245 نسبت به میانگین بارش دوره پایه به ترتیب ۸/۲۷ و ۸/۲۹ درصد افزایش می‌یابد. همچنین در شهر ارومیه در دوره آتی اول تحت سناریوی SSP126 (۳۱۱/۰۲ میلی‌متر) و دوره آتی سوم تحت سناریوی SSP585 (۳۰۹/۸۳ میلی‌متر) میانگین بارندگی

در سایر ماهها متعلق به دوره‌های آتی می‌باشد. به طور کلی در تمامی دوره‌ها بیشترین مقدار بارندگی ماهانه در ماه آوریل و دوره (۲۰۴۱-۲۰۶۰) بوده است که در سناریوهای SSP126، SSP245 و SSP585 به ترتیب ۶۹/۰۲۵ میلی‌متر و ۹۸/۳۹ میلی‌متر ۷۱/۰۵۵ می‌باشد. ابراهیمی و همکاران در مطالعه‌ای افزایش شدت بارش در ارومیه در دوره‌های آتی تحت سناریوهای SSP را گزارش کردند [۲۰].

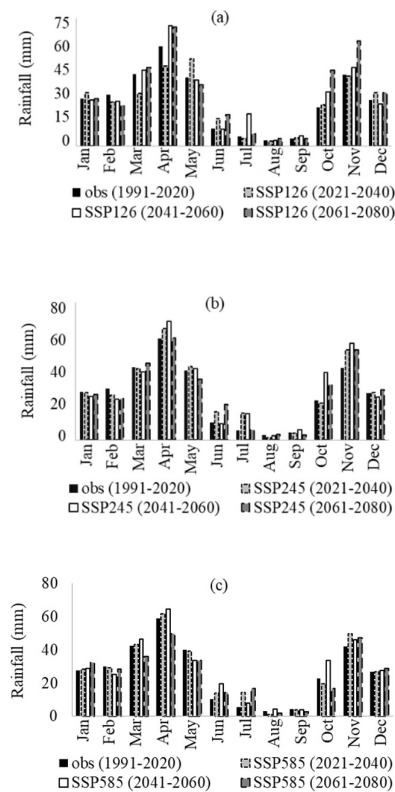


Figure 7. Changes in monthly rainfall in baseline period (obs) and three future 20-year periods under scenarios (a) SSP126, (b) SSP245 and (c) SSP585 in Urmia

شکل ۷- تغییرات مقدار بارندگی ماهانه دوره پایه (obs) و سه دوره آتی ۲۰ ساله تحت سناریوهای (الف) SSP126، (ب) SSP245 و (پ) SSP585 در شهر ارومیه

با توجه به نتایج به دست آمده مشخص شد که شرایط اقلیم در دوره‌های آتی تفاوت چشمگیری با شرایط کنونی خواهد داشت و در سال‌های آینده، شهرهای مطالعاتی با میزان بارندگی بیشتری روبرو خواهند شد. تغییر الگوی بارش در دوره‌های آتی در شهرها، می‌تواند ناشی از ناپایداری جوی و گرم شدن کره زمین باشد. با افزایش دما، بیخ‌های قطبی ذوب شده و منجر به بالا آمدن سطح آب دریاها و رودخانه‌ها و در نهایت منجر به تغییرات آب و هوایی و افزایش بارش باران می‌شود. روند افزایشی تغییرات بارش در دوره‌های آتی می‌تواند منجر به رواناب‌های سطحی و فرسایش خاک در آینده شود. بنابراین مدیریت بحران سیلاب‌های شهری در سال‌های آتی از اقدامات مهم و ضروری خواهد بود. همچنین مدیریت استفاده بهینه از آب در بخش کشاورزی برای محصولات دیم، انتخاب نوع محصول و توجه به تقویم زراعی با توجه به میزان بارش در ماههای مختلف سال، بیشتر از قبل حائز اهمیت می‌باشد.

#### ۴- نتیجه گیری

در این پژوهش از مدل LARS-WG7 با سه سناریوی مختلف به پیش‌بینی بارندگی در سه دوره ۲۰ ساله در شش شهر با اقلیم‌های مختلف پرداخته شد. نتایج نشان دادند که مدل LARS-WG7 در پیش‌بینی سناریوهای اقلیمی آینده عملکرد مناسبی داشته است و کارآمدی مدل با مقادیر بالای  $R^2$  مشخص شد. روند تغییرات میانگین بارش ماهانه و میانگین بارش سالانه تحت سناریوهای مختلف SSP و دوره‌های آتی مختلف متغیر بود. اما مقایسه میانگین بارش ماهانه بین دوره پایه و دوره‌های آتی (تحت سناریوهای SSP) در شهرهای مورد مطالعه نشان داد که در بعضی ماهها بیشترین مقدار مجموع بارندگی ماهانه در دوره‌های آتی می‌باشد. هم چنین مقایسه میانگین بارش سالانه بین دوره پایه و دوره‌های آتی (تحت سناریوهای SSP) در شهرهای مورد مطالعه نشان داد که بارش در دوره‌های آتی نسبت به

سالانه کمتر از دوره پایه (۳۱۴/۳۶ میلی‌متر) می‌باشد. اما به طور کلی میانگین بارش دوره‌های آتی تحت سناریوهای SSP585 و SSP245 و SSP126 دوره پایه به میانگین بارش دوره پایه به ترتیب ۴/۱۵۹، ۸/۳۵ و ۸/۹۷ درصد افزایش می‌باید.

**جدول ۳- میانگین مقدار بارندگی سالانه (میلی‌متر) دوره پایه و دوره‌های آتی تحت سناریوهای SSP در شهرهای گرگان، مشهد و شیراز**

Table 3. Average annual rainfall (mm) for the base period and future periods under SSP scenarios in the cities of Gorgan, Mashhad, and Shiraz

Time period	Scenario	Gorgan	Mashhad	Shiraz
Baseline period	-	505.69	237.71	313.86
First future period	SSP126	661.25	272.24	415.51
	SSP245	708.46	299.41	423.21
	SSP585	671.80	304.05	515.62
Second future period	SSP126	661.13	275.63	353.97
	SSP245	621.2	272.29	391.88
	SSP585	638.58	278.11	483.07
Third future period	SSP126	662.46	229.64	354.74
	SSP245	635.67	256.52	419.63
	SSP585	674.89	309.46	476.04

**جدول ۴- میانگین مقدار بارندگی سالانه (میلی‌متر) دوره پایه و دوره‌های آتی تحت سناریوهای SSP در شهرهای اهواز، کرمانشاه و ارومیه**

Table 4. Average annual rainfall (mm) for the base period and future periods under SSP scenarios in the cities of Ahvaz, Kermanshah, and Urmia

Time period	Scenario	Ahvaz	Kermanshah	Urmia
Baseline period	-	210.09	409.34	314.36
First future period	SSP126	276.35	510.09	311.02
	SSP245	316.95	527.05	340.84
	SSP585	339.18	527.65	332.12
Second future period	SSP126	251.01	528.74	348.53
	SSP245	288.56	527.55	352.74
	SSP585	387.53	565.95	342.07
Third future period	SSP126	279.23	589.78	376.54
	SSP245	333.12	513.83	335.42
	SSP585	372.50	617.66	309.83

به منظور سازگاری با شرایط تغییر اقلیم، مدیریت صحیح منابع آب سطحی و زیرزمینی، کنترل جریان آب رودخانه‌ها، سیالاب‌ها و فرسایش خاک ضرورت می‌یابد. همچنین تقویم زراعی و الگوی کشت با توجه به میزان بارندگی در ماههای مختلف در دوره‌های آتی که آب مصرفی گیاه را تأمین می‌کند، باید بیشتر از قبل مورد توجه قرار گیرد. پیشنهاد می‌شود بررسی تغییرات بارش و دما در آینده تحت سایر مدل‌ها و سایر سناریوهای اقلیمی SSP و نیز در مناطقی از کشور که مورد مطالعه قرار نگرفته‌اند، صورت گیرد.

دوره پایه افزایش می‌یابد. اما در شهر مشهد میانگین بارش سالانه از ۲۳۷/۷۱ میلی‌متر در دوره پایه به ۲۲۹/۶۴ میلی‌متر در دوره (۲۰۶۱-۲۰۸۰) (تحت سناریوی SSP126) خواهد رسید. در شهر ارومیه نیز میانگین بارش سالانه از ۳۱۴/۳۶ میلی‌متر در دوره پایه به ۳۱۱/۰۲۵ میلی‌متر در دوره (۲۰۲۱-۲۰۴۰) (تحت سناریوی SSP126) و ۳۰۹/۸۳ میلی‌متر در دوره (۲۰۶۱-۲۰۸۰) (تحت سناریوی SSP585) خواهد رسید. مدل LARS-WG7 چشم‌اندازی از تغییرات اقلیمی در مناطق مختلف ایران ارائه داد که می‌تواند برای مدیریت و برنامه‌ریزی مدیران بخش مربوطه کاربردی باشد. بنابراین

## Declarations

- Ethical Approval**

■ The paper is not currently being considered for publication elsewhere. All authors have been personally and actively involved in substantial work leading to the paper, and will take public responsibility for its content.

- Competing interests**

■ Conflict of Interest - None

- Availability of data and materials**

■ Data will be made available on the request.

- Authors Contributions**

Marzieh Bagheri Khanghahi's conceived the original idea. She developed the theory and performed the calculations and supervised the findings of this work. Abutaleb Hazarjaribi and Mohammad Ismail Kamali confirmed the analytical methods. Abutaleb Hazarjaribi encouraged Marzieh Bagheri Khanghahi to investigate a specific aspect. Fatemeh Zamani collaborated with Marzieh Bagheri Khanghahi in the part related to the launch and implementation of the software model. All authors discussed the results. Marzieh Bagheri Khanghahi and Mohammad Ismail Kamali participated in the final manuscript.

## References

- [1] Al-Kakey O, Al-Mukhtar M, Berhanu Sh, Dunger V. Assessing CFSR climate data for rainfall-runoff modeling over an ungauged basin between Iraq and Iran. Kuwait Journal of Science. 2023 Jul; 50(3): 405-414. doi: [10.1016/j.kjs.2022.12.004](https://doi.org/10.1016/j.kjs.2022.12.004).
- [2] Arias P, Bellouin N, Coppola E, Jones R, Krinner G, Marotzke J, Naik V, Palmer M, Plattner GK, Rogelj J, Rojas M. Climate Change 2021: The physical science basis. Contribution of Working Group I to the Sixth Assessment Report of the Intergovernmental Panel on Climate Change; technical summary.
- [3] Stocker T, editor. Climate change 2013: The physical science basis: Working Group I contribution to the Fifth assessment report of the Intergovernmental Panel on Climate Change. Cambridge university press; 2014 Mar 24.
- [4] Zamani R, Akhond Ali AM, Roozbahani A. Evaluation of adaptation scenarios for climate change impacts on agricultural water allocation using fuzzy MCDM methods. Water Resources Management. 2020 Feb; 34: 1093-1110. doi: [10.1007/s11269-020-02486-8](https://doi.org/10.1007/s11269-020-02486-8).
- [5] Gidden MJ, Riahi K, Smith SJ, Fujimori Sh, Luderer G, Kriegler E, Van Vuuren DP, Van Den Berg M, Feng L, Klein D, Calvin K, Doelman JC, Frank S., Fricko O, Harmsen M, Hasegawa T, Havlik P, Hilaire J, Hoesly R, Horing J, Popp A, Stehfest E, Takahashi K. Global emissions pathways under different socioeconomic scenarios for use in CMIP6: A dataset of harmonized emissions trajectories through the end of the century. Geoscientific model development. 2019 Apr 12; 12(4): 1443-1475. doi: [10.5194/gmd-12-1443-2019](https://doi.org/10.5194/gmd-12-1443-2019).

- [6] O'Neill BC, Kriegler E, Ebi KL, Kemp-Benedict E, Riahi K., Rothman DS, van Ruijen BJ, van Vuuren DP, Birkmann J, Kok K, Levy M, Solecki W. The roads ahead: Narratives for shared socioeconomic pathways describing world futures in the 21st century. *Global Environmental Change*, 2017 Jan; 42: 169-180. doi: [10.1016/j.gloenvcha.2015.01.004](https://doi.org/10.1016/j.gloenvcha.2015.01.004).
- [7] Fakhimi S, Zeinali B, Bromand S. Forecasting the effects of climate change on precipitation in East Azarbaijan Province. *Journal of Environmental Sciences Studies*. 2024 May; 9(4): 9560-9576. doi: [10.22034/jess.2023.421560.2157](https://doi.org/10.22034/jess.2023.421560.2157) [In Persian].
- [8] Iranshahi M, Ebrahimi B, Yousefi H, Moridi A. Investigating the effects of climate change on temperature and precipitation using neural networks and the sixth IPCC report (Case study: Al-Shatar and Khorramabad stations). *Water and Irrigation Management*. 2023 Jan 21; 12(4): 821-845. doi: [10.22059/jwim.2022.346796.1009](https://doi.org/10.22059/jwim.2022.346796.1009) [In Persian].
- [9] Kazemi R, Khazaei MR. Prediction of future climate change in Tehran and Yazd under RCPs scenarios and using LARS-WG model. *Environmental Science and Technology*. 2022 Aug 23; 24(6): 31-44 [In Persian].
- [10] Hejazizadeh Z, Hosseini SA, Karbalaei A, Barabadi RP, Mousavi SM. Spatiotemporal variations in precipitation extremes based on CMIP6 models and Shared Socioeconomic Pathway (SSP) scenarios over MENA. *Arabian Journal of Geosciences*. 2022 Oct 11; 15, 1601. doi: [10.1007/s12517-022-10887-9](https://doi.org/10.1007/s12517-022-10887-9).
- [11] Semenov MA, Brooks RJ, Barrow EM, Richardson CW. Comparison of the WGEN and LARS-WG stochastic weather generators for diverse climates. *Climate research*. 1998 Aug 14; 10(2): 95-107. doi: [10.3354/cr010095](https://doi.org/10.3354/cr010095).
- [12] Semenov MA, Barrow EM. LARS-WG: A stochastic weather generator for use in climate impact studies. Rothamsted Research: Hertfordshire, UK, 2002 Aug.
- [13] Izadi N, Amirabadizadeh M, Dastourani M. Investigating temperature changes in Tabas City in the future using the sixth climate change report. *Journal of Meteorology and Atmospheric Sciences*. 2023 Apr; 6(1): 1-14. doi: [10.22034/jmas.2023.415661.1210](https://doi.org/10.22034/jmas.2023.415661.1210) [In Persian].
- [14] Koohi S, Azizian A, Mazandarani Zadeh H. The effects of climate change on drought conditions using fuzzy logic under SSP3 and SSP5 scenarios. *Iran-Water Resources Research*. 2022 Dec; 18(3): 1-17. doi: [10.1001.1.17352347.1401.18.3.1.3](https://doi.org/10.1001.1.17352347.1401.18.3.1.3) [In Persian].
- [15] GhorbaniMinaei L, Mosaedi A, Zakerinia M, Kalbali E, Ghabaei Soogh M. Study of future climate change on the temperature and precipitation trends in Qarasu basin based on the CMIP6 models. *Iranian Journal of Soil and Water Research*. 2024 May; 55(2): 245-268. doi: [10.22059/ijswr.2024.369146.669613](https://doi.org/10.22059/ijswr.2024.369146.669613) [In Persian].
- [16] Sarabi M, Dastorani MT, Zarrin A. Investigating impact of future climate changes on temperature and precipitation condition (Case Study: Torogh Dam Watershed, Mashhad). *Journal of Meteorology and Atmospheric Sciences*. 2020 Springer; 3(1): 63-83. doi: [10.22034/jmas.2021.278862.1129](https://doi.org/10.22034/jmas.2021.278862.1129) [In Persian].
- [17] Jahangir MH, Jahanpanah M, Abolghasemi M. Drought forecasting for future periods using LARS-WG model (Case Study: Shiraz Station). *Environment and Water Engineering*. 2020 Apr; 6(1): 69-82. doi: [10.22034/jewe.2020.215515.1343](https://doi.org/10.22034/jewe.2020.215515.1343) [In Persian].
- [18] Karimi S, Ghazanfarpour H, Pour mousa R, Jahani Babadi M. Predictive and analysis of probable heavy rainfall in Khuzestan Province using HadCM3 and SDSM. *Climate Change Research*. 2022 Nov; 3(11): 65-78. doi: [10.30488/ccr.2022.356661.1088](https://doi.org/10.30488/ccr.2022.356661.1088) [In Persian].
- [19] Heshmati S, Ramezani Etedali H. Drought forecasting for future periods using LARS-WG model: The Case study of Kermanshah City. *Town And Country Planning*. 2021 Oct; 13(2): 647-669. doi: [10.22059/jtcp.2021.332432.670263](https://doi.org/10.22059/jtcp.2021.332432.670263) [In Persian].
- [20] Ebrahimi N, Zarrin A, Mofidi A. Dadashi-Roudbari AA. Projected precipitation extremes in Lake Urmia Basin under climate change. *Journal of Water and Soil*. 2024 Dec-Jan; 37(5): 769-785. doi: [10.22067/jsw.2023.81891.1270](https://doi.org/10.22067/jsw.2023.81891.1270) [In Persian].